

## アスファルト舗装材料の熱定数の測定について

東北大學 正員・村井貞規  
東北工業大學 正員 高橋彦人  
東北工業大學 正員 今野辰郎

### 1. はじめに

アスファルト舗装において、舗装材料の熱定数を測定するときは、舗装内温度分布のシミュレーションを行なう上できわめて重要である。著者らはこれまで実際に試験舗装を実施し舗装内温度分布の実測を行ない、またW.T.Thomsonの方法により試験舗装を使用して材料について熱定数を測定してきた。本報告はこの舗装材料の熱定数の測定について、より実際の舗装状態に近いと考えられる平板供試体による熱定数の測定方法を示すとともに、この方法により得られた測定結果と従来の方法の測定結果についてまとめたものである。さらにこれらの中を用いた舗装内温度分布のシミュレーションについても言及した。

### 2. 舗装材料の熱定数の測定

舗装内温度分布の解析的求めるために舗装材料の熱定数を明らかにすることが必要である。しかし熱定数は密度等に敏感で測定法により影響を受けると考えられる。これまでThomson法を測定法として用いてきたが、舗装材料のように締固めが機械的に行なわれる材料についてはその締固め条件を等しくすることは困難である。そこで機械的な締固めが可能な平板供試体による方法を考察し熱定数の測定を行なった。

#### i) 热伝導率の測定

Thomsonの測定法を図-1に示す。中央の円筒を水で満たし、ヒーターにより正常状態にならまで加熱して測定を行なつた。供試体の上下面是断熱材でおおつた。熱伝導率は次式により求めている。

$$\lambda = \frac{Q}{2\pi} \cdot \frac{\ln r_1 - \ln r_2}{l} \cdot \frac{1}{T_2 - T_1} \quad \dots \quad (1)$$

ここに  $Q$ : 施入する熱量、  $r_1, r_2$ : 供試体の外径及び内径、  $l$ : 供試体高さ、  $T_1, T_2$ : 温度

平板供試体による測定法を図-2に示す。小型ローラーによる締固め、図の様に組立てて中央の水槽をヒーターにより加熱して測定して、平板供試体の熱伝導率は次式により求めた。

$$\lambda = \frac{Qx}{T_2 - T_1} \cdot \frac{1}{A} \quad \dots \quad (2)$$

ここに  $Q$ : 施入する熱量、  $A$ : 供試体面積、  $x$ : 供試体厚さ  
この温度測定には銅-コニスタンタン熱電対を使用した。

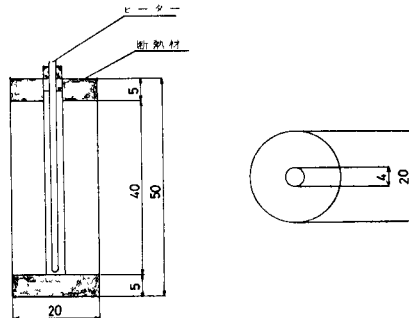


図-1 Thomsonの測定法

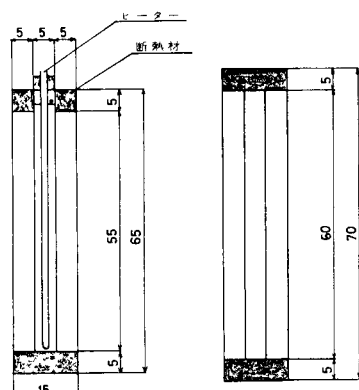


図-2 平板供試体の測定法

#### ii) 温度拡散率の測定

Thomsonの測定法による温度拡散率は、熱伝導率の測定K用いに供試体から中央の円筒を除いたものにより測定した。温度拡散率Kは次式より求めたものである。

$$K = \frac{D^2}{4\lambda_i^2(t_2-t_1)} \cdot \ln \frac{T_s(t_1)}{T_s(t_2)} \quad \dots \dots (3)$$

ここK:D:供試体直径,  $T_s(t)$ :時刻tにおける表面温度,  $T_c(t)$ :時刻tにおける中心温度,  $\lambda_i$ :  $T_s(t)/T_c(t) = T_o(\lambda_i)$  とす値

平板供試体の温度拡散率は、供試体の密度ρ, 比熱Cを測定し  $K = \lambda / C \cdot \rho$  の関係より求めたものである。

表-1, 表-2に得られた結果を記す。これによると平板供試体による熱定数値は 円筒供試体による値よりも大きな値を示している。その中でも碎石とローム土の値が大きく変化していることが明らかになつた。平板供試体において、密度の異なったアスファルト混合物の値を示しながらもこれは充填量を変えることにより得られたものでやや円筒供試体よりも大きな値となつてゐる。

	熱伝導率 J/cmsec°C	温度拡散率 cm <sup>2</sup> /sec	密度 g/cm <sup>3</sup>
	Kcal/mhr°C		
密粒アスコン	0.01030	0.885	1.902
粗粒アスコン	0.00911	0.783	—
碎 石	0.00444	0.381	1.596
ローム土	0.00602	0.517	1.594

表-1 Thomson法による熱定数値

	熱伝導率 J/cmsec°C	温度拡散率 cm <sup>2</sup> /sec	密度 g/cm <sup>3</sup>
	Kcal/mhr°C		
密粒アスコン(1)	0.01239	1.065	2.050
密粒アスコン(2)	0.01083	0.931	1.974
碎 石	0.00773	0.664	1.700
ローム土	0.01412	1.214	1.429

表-2 平板供試体による熱定数値

フーリエ係数	a0/2	a1	a2	a3	b1	b2	b3
係数値	32.0	3.2	-2.2	-0.3	-10.9	-1.4	-1.2

### 3. 鋼装内温度分布のシミュレーション

鋼装内温度分布のシミュレーションを行なう場合K、境界条件として鋼装表面温度を与えるのが現在のところ最も妥当であろうと考えらる。ここでは鋼装表面温度をフーリエ係数により表わすこととした。表-3にシミュレーションに際して用いた表面温度のフーリエ係数の値を示した。この値はフーリエアナライザにより求めた値である。

図-3はシミュレーション結果と実測例を記す。多層構造における数値計算方法については既に報告した。<sup>(1)</sup>これによると高温部についてはかなり良い近似解となつてゐるといふよう。図-4は得られた2種の熱定数値についてシミュレーションに対する影響を調べたものであるが、平板供試体による値を用いた方が振幅が2-3度大きく付つてゐることがわかる。

### 4. おわりに

アスファルト鋪装材料の熱定数の測定についてThomsonの測定法と機械転圧が可能な平板供試体による方法を実施した。この結果平板供試体による熱定数値がThomson法による値よりもやや大きな値として得られた。またこの値を用いた鋼装内温度分布のシミュレーションを行なつて結果平板供試体により得られた熱定数が有効であることが明らかになつた。

今後さらにシミュレーション方法を改良を加えるとともに、平板供試体による温度拡散率の直接測定法について明らかにしていきたい。

(1) 村井・福田・高橋：アスファルト鋪装の温度変化の予測、土木学会第35回年次学術講演会講演概要集、昭和55年

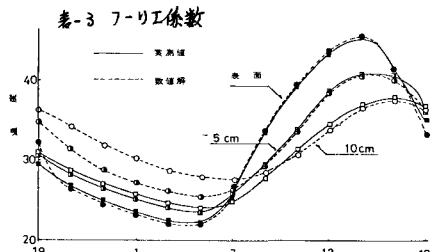


図-3 シミュレーション結果

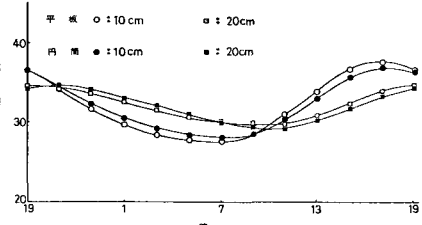


図-4 热定数値による比較